科学余話



ヘルマン格子錯視の新仮説

西山 曹

1 ヘルマン格子錯視と側抑制

私がヘルマン格子錯視を知ったのは、1979年のことである。これは、ドイツの生理学者ルディマール・ヘルマンが1870年に発見した錯視のことをいうり。黒地に白色の道路が縦横に走っている。道路の交差点ではときどき薄暗く見えることがある。それを確認しようと交差点を注視すると白色に戻る(図1)。この理由は当時はわからなかった。この現象を再考察するのは2024年のことである。再考察した結果、この理由をついに解

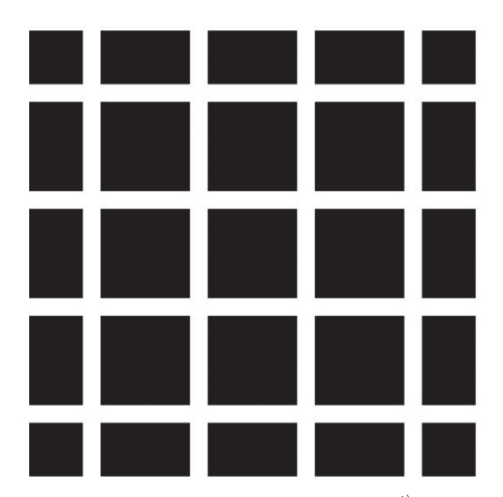


図1 ヘルマン格子錯視 (1870) 1)

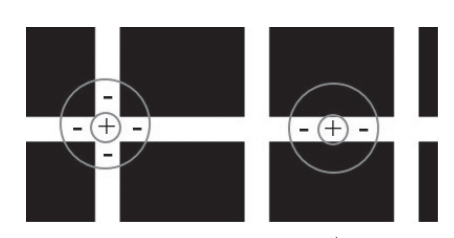


図2 側抑制(1960)2)

明できたのは予想だにしなかった。以下その概略 を説明しよう

ヘルマン格子錯視の理由は、主に側抑制 (Lateral inhibition) で説明されている。これは、隣接する 神経細胞が中心部の神経細胞の活動を抑制する機 能で、1960年にバウムガルトナーによって唱え られた2) 交差点の白(左)と道路の白(右)を 比較している。交差点の白の中心(+)は周囲の 4ヵ所の白(一)によって抑制されるが、道路の 白は周囲の2ヵ所の白によって抑制される。この 抑制の違いが交差点の白が薄暗く見える理由だと いう (図2). 側抑制という耳慣れない概念, 専 門書に書いてあるのだからそうなのかと思った が、当時この説明に私は合点がいかなかった。錯 視の謎をめぐって多くの研究者が考察してきた が、この説明には不備があることが判明している。 2009年にミヒャエル・バッハはそれを論考にま とめている 3).

2 側抑制に対する反例

ドイツの生理学者ルディマール・ヘルマン (1838-1914) は、格子錯視を発見した (1870). 彼は物理学者ジョン・ティンダル (1820-1893) の講義録 (ドイツ語訳) を読んでいるときに、音に関する図を見て気づいた。その図は、黒い正方形が縦8行横5列の40個が整然と並び、それぞれの黒い正方形の上には音の振動を表す「クラドニ図形」が描かれていた。ヘルマンは、その黒い正方形の配列の間に生まれる白い格子の交差点に、薄暗い影が見えることに気づいた。しかし、そのような影は実際には印刷されていなかった。

著者連絡先:nishiyama@osaka-ue.ac.jp

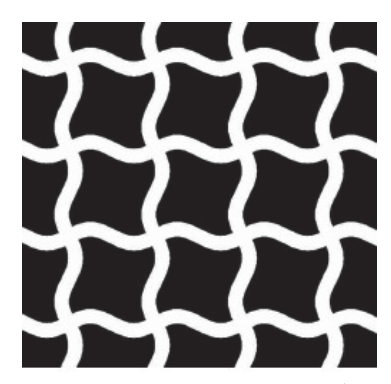


図3 ガイエルの反例(2008)4)

ヘルマンは物理学の「音」ではなく「錯視」に興味を持ったところが面白い.

ヘルマン格子錯視はどうして起こるのか. ミヒャエル・バッハはバウムガルトナーの側抑制 (1960) に対して「古典的な教科書の解釈は時代遅れ」としている (2009)³⁾. 彼はガイエル (2008) の論文を引用している ⁴⁾. 道路を直線 (図1) ではなく曲線, たとえば正弦波にすると, 交差点で薄暗くなる効果は表れない (図3). 道は曲がっているが, 交差点での中心と周囲の関係は変わらず, 側抑制が期待できるが, 薄暗くなることはない. これはバウムガルトナー説に対する重要な反例だ. 錯視の理由が側抑制でないとすると, 何が原因なのだろうか.

3 きらめき格子錯視と最小モデル

シュラウフら(1995)は「ヘルマン格子錯視」

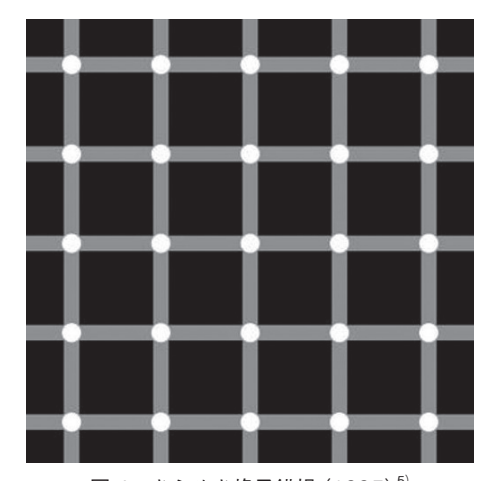


図 4 きらめき格子錯視 (1995) 5)

を改良し、より鮮明な錯視が見えるようにした50. 図4のように、道路を灰色にし、交差点を白丸にすると、錯視の効果が顕著であり「きらめき格子錯視」と呼んでいる

交差点の白丸は横に5個、縦に5個の合計25個が等間隔に並んでいる.図の中央に視線を向け、周りの白丸をぼんやりと眺めると黒丸になっている.黒丸の方に視点を移動すると白丸に変化し、まるで黒丸が点滅しているようである.黒丸ではなく、白丸の中に直径が小さい黒い点のようにも感じる.透明感のある黒ともいえる.錯視は片目でも確認できるが、両目の方がより鮮明である.

私はきらめき格子錯視を1日中眺めていた。交差点の白丸が黒点に変わり、白丸に変わる様は、星がキラキラと輝くようである。黒点を確認しようと追いかけても、黒点に逃げられてしまう。交差点の全体25個を見ていると理由がわからず疲れるだけだ。そこで横1行または縦1列に注目することにした(図5)^{6,7)}。視点を左右に移動すると、白丸が黒点に変わり点滅するが、上下に移動すると、白丸が黒点に変わることが少ない。左右両眼がゆれないように視点を慎重に上から下に移動すると、交差点の白丸はすべて白丸のままだ。

視点を左右(水平方向)に移動すると錯視が起こり、上下(垂直方向)に移動すると錯視が起こらない。この違いは何なのだろうか

視点の移動を水平方向に限るとして、交差点の数を何個まで減らすことができるだろうか、パターンをいくつか作成し、試行錯誤の末、3個まで減らすことができた(図 6)^{6,7)} これは格子錯視が起こる最小モデルである。きらめき格子錯視の

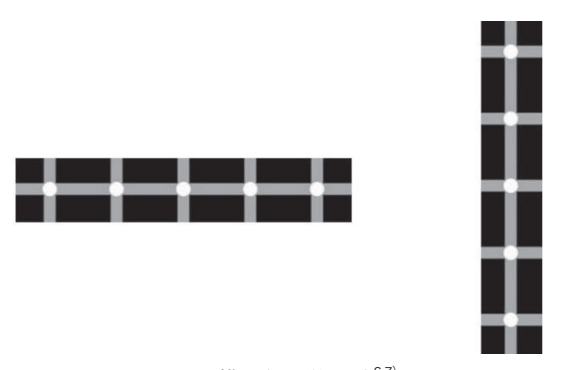


図5 横1行と縦1列 6,7)



図 6 格子錯視の最小モデル (3 個) 6,7)

交差点は 25 個も必要なく, 水平方向の 3 個だけで十分である. ヘルマン格子錯視 (1870) も同じで, 水平方向の 3 個で十分だ.

4 盲点による仮説

格子錯視の最小モデル(図 6)を1日中眺めていたら、心理学の講義で学んだ「盲点の実験」のことを思い出した。十字と黒丸の間隔が10 cm くらいに印刷しておく(図 7)。パソコン画面にこの画像を表示してもよい。

- 1. 印刷した紙を手に持ち、紙の中央を眉間あたりに持ってくる。
 - 2. 左眼を閉じて、右眼で十字を見る.
- 3. 右眼で十字を見たまま,紙の位置を固定し, 頭を前後に動かし、黒丸が消える位置を探す.



図7 盲点の実験

ちょうど黒丸が消えたとき、黒丸が右眼の盲点の位置に投影された状態になる。個人差もあるが、目と紙の距離が 25~30 cm のとき盲点が確認できる。盲点の実験を十字と黒丸の2点で行ったが、「ヘルマン格子錯視」や「きらめき格子錯視」の最小モデルは、極論すれば水平方向の2個ということになる。

ヒトは目に入った光を網膜にある視細胞で電気信号に変換し、視神経を通して脳に伝えられ知覚を得る。視神経の出口である視神経乳頭には視細胞がなく、光を感じることができない。この視神経乳頭を「盲点」と呼び、発見者の物理学者マリオット(1620-1684)にちなんでマリオット暗点と呼ぶ。人間の眼の模式図を図8に示す8.これは右眼を上から見た水平断面図である。左が鼻側

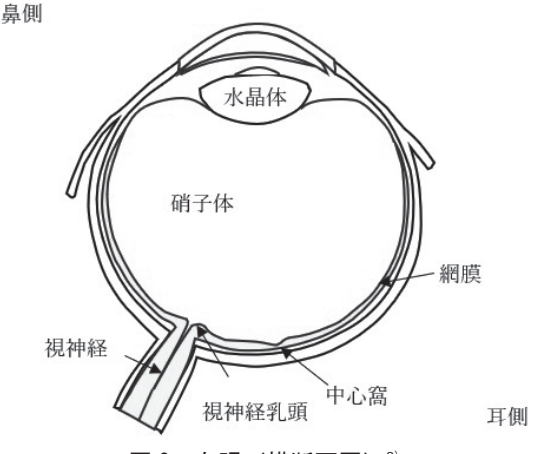


図8 右眼(横断面図)8)



図9 視神経乳頭(盲点)8)

で、右が耳側である。光は水晶体、硝子体を通って網膜に映される。水晶体が凸レンズであるので網膜では風景が反転している。中心窩は下部にある。視神経乳頭(盲点)は中心窩の左側、鼻側にある。

図9はヒトの眼底写真である(Wikipedia「目」より)®. 白い円形の部分が視神経乳頭(盲点)である. 直径は約0.7 mm. 中央に黒っぽく映っている部分は中心窩である. 盲点は中心窩から鼻側に約15度(5 mm) ずれている. 盲点は左右両眼に1個ずつある. 外界のある1点からの光が同時に両方の眼の盲点に入ることはないので, 私たちは盲点に気づくことはない.

格子錯視の最小モデル (図 6) に左右両眼の盲点を重ねて,錯視が起こる理由を考えてみよう(図 10). 盲点(視神経乳頭) は左右両眼にある. 右眼の盲点は中心窩より左側に,左眼の盲点は中心

窩より右側にある. つまり耳側でなく鼻側ということだ. 白丸が3個並んでいる. 左,中央,右をL, C, R とする.

- 1. 左右両眼で中央の白丸 C を注視していると きは、盲点に影響されず白丸として見える.
- 2. 右眼で左の白丸 L を注視したとき,左の白丸 L は白丸として見えるが,右の白丸 R は盲点になるため黒点となる.
- 3. 左眼で右の白丸 R を注視したとき,右の白丸 R は白丸として見えるが,左の白丸 L は盲点になるため黒点となる.

ヒトは左右両眼で上記3つの動作を同時に行っている。視点は刻々と動的に移動する。視点が移動するたびに、映像が盲点に入るかどうかも動的に変化するので、それがヘルマン格子錯視につながっている。



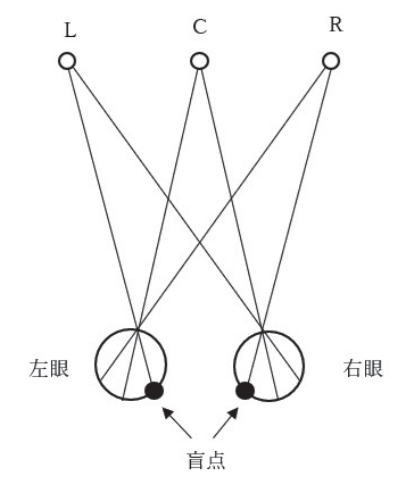


図 10 左右両眼の盲点 6.7)

格子錯視は日常の様々なところで見かける。お風呂のタイルの目地やパソコンのキーボードの隙間など、格子点が薄っすら黒く見えることがあるが、汚れではなく錯視だ。ヘルマン格子錯視(1870)は、2024年に解明された^{6,7)}。私は知覚心理学を専門としないが、150余年の謎の解明に貢献できたことは嬉しい。

「付記]

図4のきらめき格子錯視は、横に8個、縦に8個の合計64個が並んでいるものを、誌面の都合上縮小したものです。黒点が見えにくいときは図に目を近づけるか、図を拡大してください。

注および引用文献

- Hermann, L.: Eine Erscheinung simultanen Contrastes, Archiv für die gesamte Physiologie des Menschen und der Tiere 3, 13-15 (1870).
- Baumgartner, G.: Indirekte Größenbestimmung der rezeptiven Felder der Retina beim Menschen mittels der Hermannschen Gittertäuschung. *Pflügers Arch ges Physiol.* 272, 21-22 (1960).
- 3) Bach, M.: Die Hermann-Gitter-Täuschung: Lehrbucherklärung widerlegt. *Der Ophthalmologe* **106**, 913-917 (2009).
- Geier, J., Bernath, L., Hudak, M., & Sera, L.: Straightness as the main factor of the Hermann grid illusion. *Perception* 37, 651-665 (2008).
- Schrauf, M., Lingelbach, B., Lingelbach, E., & Wist, E. R.: The Hermann Grid and the scintillation effect. *Perception* 24 Suppl. A: 88-89 (1995)
- 6) 西山 豊:「ヘルマン格子錯視に関する盲点の動的移動」『大 阪経大論集』**75**(3),129-137(2024)。
- Nishiyama, Y.: Dynamic transitions of blind spots in the Hermann grid illusion. *Journal of Osaka University of Economics*, 75 (4), 169-177 (2024).
- 8) Wikipedia「目」より、図8は模写、図9は転写、

(にしやま・ゆたか:大阪支部,情報数学)

2025年7月31日受付,8月4日受理